

(財)電力中央研究所 正会員 ○尾崎幸男・秋元 保

1.はじめに

貯水池に淡水が流入すると、ダム地盤にかけたゲート放流操作に伴って貯水池内に定常波が生ずるようになります。このようすを定常波の影響で放流量が変動し、下流域に対しても過大な放流を引き起こし危険な事態を招く恐れがある。また、定常波の問題はダムゲート自動制御化にとっても解決すべき課題となっています²⁾。

本研究は、ダムにおける洪水放流操作を最適に行うためにあつて必要となる貯水池内定常波の一般的特性を明らかにしようと試みたものである。

2. 波動方程式と一般解

貯水池に淡水が流入すると、流れの性質よりも振動性が卓越し貯水池内に定常波が生ずる。図-1は当所で行つた水殿貯水池における定常波の実測例である³⁾。

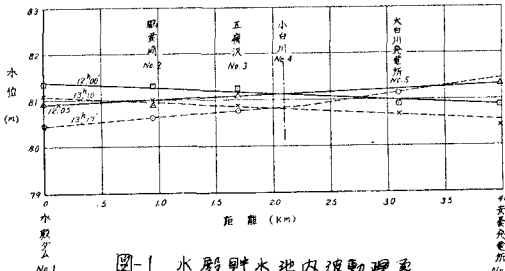


図-1 水殿貯水池内波動現象

貯水池内の定常波は、その波高が水深に比べて非常に小さいことから以下の標準方程式によつて解析することができます。⁴⁾ただし、X軸は底面高さを正とする。

$$\frac{\partial V}{\partial t} + g \frac{\partial V}{\partial x} + g \frac{\partial h}{\partial x} + \frac{1}{2} f \frac{V^2}{h} \left(2 \frac{V}{h} - \frac{\eta}{h} \right) = 0, \quad (1)$$

$$\frac{\partial \eta}{\partial t} + \frac{\partial V}{\partial x} + \frac{\partial h}{\partial x} = 0, \quad (2)$$

ここで、 $\bar{h}(x, t)$ は定常時局所水深 $h(x)$ に淡水による上昇水位 $\Delta h(x, t)$ を加えた局所平均水深、 $\eta(x, t)$ は波動によつて水面変化、 f は摩擦抵抗係数、 $V(x, t)$ は流速の運動成分、 $\tau(x, t)$ は流速の運動成分、である。

ここで、長さ L 、底面勾配 S_b の湛水池領域においては、

$$O(f \frac{L}{h}) \approx O(1), \quad O(\frac{V}{\sqrt{h}}) \ll O(1), \quad O(\frac{\Delta h}{h}) \ll O(1),$$

と存すことができるので、このとき、(1), (2)式は、

$$\frac{\partial V}{\partial t} + g h \frac{\partial \eta}{\partial x} = 0, \quad \frac{\partial \eta}{\partial t} + \frac{\partial V}{\partial x} = 0, \quad (3)$$

と簡単化される。この式から次式が導かれる。

$$\frac{\partial^2 \eta}{\partial t^2} = g \frac{\partial}{\partial x} \left(h \frac{\partial \eta}{\partial x} \right). \quad (4)$$

上式は、一様傾斜の水路において水深 h の時間変化を示す一般的な波动方程式である (Lamb⁵⁾, p. 274)。

いま、X軸の直線座標を貯水池上端端にとり、局所水深を、 $h(x) \cong S_b \cdot x$ 、とおくと(4)式の一般解は、

$$\eta(x, t) = \{ C_1 J_0(\xi) + C_2 Y_0(\xi) \} e^{i\omega t + i\xi x}, \quad (5)$$

と表わされる。ここで、 $\omega = 2\pi/T$ は角振動数、Tは周期、 $i = \sqrt{-1}$ 、 $\xi = 2K^{\frac{1}{2}} x^{\frac{1}{2}}$ 、 $K = \omega^2/(g S_b)$ で、 $J_0(\xi)$ 、 $Y_0(\xi)$ はそれぞれ第一種、第二種のゼロオーダーの Bessel 関数、 C_1 、 C_2 、 ξ は任意定数である。

3. 放流量を制御するゲート操作による定常波

放流量調整を行つて、図-2 のように貯水池内の中央附近に節点をもつ定常波が生ずる。

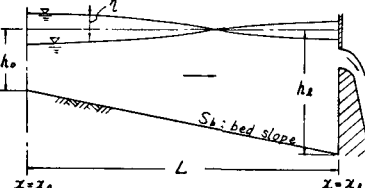


図-2 放流量制御の場合の定常波

この定常波の固有周期は次の条件、

$$x = x_0 \text{ および } x_L \text{ で } \frac{\partial \eta}{\partial x} = 0, \quad (6)$$

から求められる。上式は完全反射の条件であり、 $x=x_0$ だけが当所条件といえる。しかし、 $x=x_0$ においては、この地盤に上池ダムがあれば成立つかず、 $x=x_L$ が上流が遮蔽領域あるいは渓流領域の場合には近似的条件を有している。

さて、(5)式を(6)式に代入し、若干の計算の結果、定常波の固有周期をあわす式を導く。

$$J_1(\xi_0) Y_1(\xi_0) - J_1(\xi_L) Y_1(\xi_L) = 0. \quad (7)$$

ただし、 $J_1(\xi)$ 、 $Y_1(\xi)$ はオーダー-1 の Bessel 関数で、 $\xi_0 = 2K^{\frac{1}{2}} x_0^{\frac{1}{2}}$ 、 $\xi_L = 2K^{\frac{1}{2}} x_L^{\frac{1}{2}}$ である。

$x = x_L$ 、 $\xi_L > 1$ の場合を考えると、次の漸近展

前式を使うことにより式(3) (Watson⁶⁾, p.199)。

$$\begin{aligned} J_\nu(\xi) &\cong \cos\left(\xi - \frac{1}{2}\nu\pi - \frac{1}{4}\pi\right)/\sqrt{\pi\xi/2}, \\ Y_\nu(\xi) &\cong \sin\left(\xi - \frac{1}{2}\nu\pi - \frac{1}{4}\pi\right)/\sqrt{\pi\xi/2} \end{aligned} \quad (8)$$

$\xi = 2L$, $\nu = 0, 1, 2, \dots$

(8)式を(7)式に代入し固有周期を求めるとき、

$$T = 2\pi/\sigma \cong (4/S_b)(\sqrt{h_0/g} - \sqrt{h_0/g}), \quad (9)$$

とある。いま、平均水深を h_m として基準周期 T_m を、
 $T_m = 2L/\sqrt{g h_m} = (2\sqrt{2}/S_b)(h_0 - h_0)/\sqrt{g(h_0 + h_0)}$, (10)

と定義すると、無次元固有周期は、

$$\frac{T}{T_m} = \sqrt{2} \cdot \frac{\frac{h_0}{h_0} + 1}{\frac{h_0}{h_0} - 1} \left(\sqrt{\frac{h_0}{h_0}} - 1 \right), \quad (11)$$

とある。この式と実測値との比較をしたのが図-3である。両者はかからり良い一致を示している。

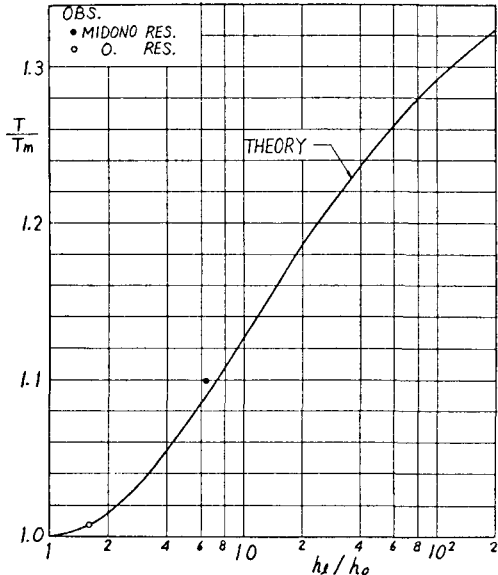


図-3 式(11)と実測値との比較

(10)式において、貯水池形状の極限状態を考えよう。

$$\lim_{\frac{h_0}{h_0} \rightarrow 1} \frac{T}{T_m} = 1, \quad \lim_{\frac{h_0}{h_0} \rightarrow \infty} \frac{T}{T_m} = \sqrt{2},$$

故に, $1 \leq T/T_m \leq \sqrt{2}$. (12)

4. 下流端水位一定とするゲート操作による定常波

この場合は図-4のようないずれか定常波が生ずる。

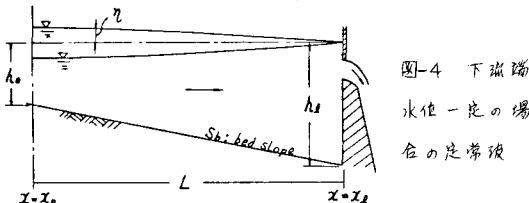


図-4 下流端
水位一定の場
合の定常波

この定常波の固有周期は、

$$x = x_0 \text{ で } \frac{\partial^2 y}{\partial x^2} = 0, \quad x = x_1 \text{ で } y = 0, \quad (12)$$

の条件から求められ次のようになる。

$$T \cong (8/S_b)(\sqrt{h_2/g} - \sqrt{h_0/g}). \quad [(q)式の2倍] \quad (13)$$

また、基準周期 $T_m = 4L/\sqrt{g h_m}$ と(10)式の2倍を取って、結局、無次元固有周期は(11)式に一致する。

次に、図-4のようないずれか定常波が生ずると、放流量が変動する。この放流量の変動分(振幅)を求める無次元表示すると次式のようである(解析過程は文献5)を参照されたい)。左左し、 q_0 は単位幅当たりの変動放流量の振幅、 x_0 は $x=x_0$ における定常波の振幅である。

$$\frac{q_0}{q_0 \sqrt{g h_m}} = \left[\frac{4 h_0 / h_0}{(h_0 / h_0 + 1)^2} \right]^{\frac{1}{2}}, \quad (14)$$

上式と実測値との比較をすると図-5のようになる。この図から、実際の貯水池においては、定常波の振幅が数セントであっても放流量の変動振幅は数十から数百トンに達し、運放流を引き起すことを予想される。

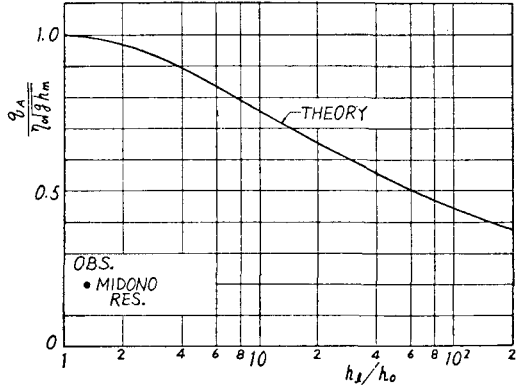


図-5 式(14)と実測値との比較

5. 結論

以上、理論解析によって貯水池内に生ずる定常波の一般的な特性を明らかにすることことができた。今後は、このうちは定常波の特性を考慮したゲート操作の確立が望まれる。

- 参考文献 1)秋元 保・尾崎幸男, 電研報告378016, 1978.
- 2)蓬田正道・井上和政, 土木工学 No.156, 1978, pp.81-87.
- 3)秋元 保・工藤正介, 電研報告376015, 1977.
- 4)尾崎幸男・秋元 保, 第23回水講, 1979, pp.27-34.
- 5) Lamb, H., "Hydrodynamics", 6th edition, Cambr. Univ. press, 1932.
- 6) Watson, G.N., "Theory of Bessel Functions", Second edition, Cambr. Univ. press, 1966.